

- [3] Андрианов А. В., Валов П. М., Суханов В. Л., Тучкевич В. В., Шмидт Н. М. Фотоэффект на  $p-n$ -переходе из кремния в условиях внутризонного разогрева носителей светом. — ФТП, 1980, т. 14, в. 5, с. 859—864.
- [4] Ашмонтас С., Ширмулис Э., Стонис С. Исследование фотоэдс, возникающей на  $p-n$ -переходе германия при освещении его импульсами  $\text{CO}_2$ -лазера. — Лит. физ. сб., 1984, т. 24, № 3, с. 76—78.
- [5] Мармур И. Я., Оксман Я. А. Внутренняя фотоэмиссия в электронно-дырочных переходах. — ФТП, 1986, т. 20, в. 3, с. 486—489.
- [6] Комолов В. Л., Ясевич И. Н. Функция распределения электронов, разогретых светом, при взаимодействии с оптическими фононами. — ФТП, 1974, т. 8, в. 6, с. 1125—1133.
- [7] Elabd H., Kosonocky W. F. — RCA Rev., 1982, v. 43, N 4, p. 569—589.

Получено 9.07.1987  
 Принято к печати 21.08.1987

ФТП, том 22, вып. 3, 1988

## ДВУХУЗЕЛЬНАЯ МОДЕЛЬ БИПОЛЯРОНА МАЛОГО РАДИУСА

Петухов А. Г.

В последнее время большое внимание привлечено к исследованию биполярона в различных материалах [1-3]. В 1975 г. Андерсон [4] для объяснения отсутствия сигнала ЭПР в халькогенидных стеклах предложил использовать модель биполярона малого радиуса. Согласно Андерсону [4], образование биполярона происходит при выполнении неравенства  $U < 2W$ , где  $U$  — хаббардовская энергия отталкивания электронов на дефекте,  $W$  — локальный поляронный сдвиг. Эта оценка, однако, получена без учета эффектов туннелирования электронов между локализованными состояниями. Поэтому представляет интерес проанализировать условия образования биполярона в рамках учитывающей туннелирование двухузельной модели, обобщив известную двухузельную модель полярона [5]. Далее будет показано, что двухузельная модель биполярона допускает точный анализ поведения адиабатических термов при  $T=0$ .

В модели Холстейна [5] предполагается, что электрон, локализованный на  $i$ -м узле, линейно связан с локальной решеточной модой  $u_i$  ( $i=1, 2$ ). Гамильтониан задачи  $H_{\text{tot}}$  можно представить в виде  $H_{\text{tot}}=H_0+H$ , где  $H_0$  не содержит электронных операторов и описывает смещенный гармонический осциллятор, соответствующий симметричной деформации  $Q=1/2(u_1+u_2)$ , а оператор  $H$  учитывает взаимодействие электронов с асимметричной деформацией  $Q=u_1-u_2$  [5]. С учетом членов, описывающих локальные многоэлектронные эффекты [4],

$$H = \frac{P^2}{2\mu} + \frac{1}{2}\mu\omega^2 Q^2 - \frac{1}{2}\lambda Q \sum_{\sigma} (n_{1\sigma} - n_{2\sigma}) + V \sum_{i \neq j, \sigma} a_{i\sigma}^+ a_{j\sigma} + U \sum_i n_{i\uparrow} n_{i\downarrow} + C \sum_{i \neq j, \sigma, \sigma'} n_{i\sigma} n_{j\sigma'}, \quad (1)$$

где  $i=1, 2$ ;  $n_{i\sigma} = a_{i\sigma}^+ a_{i\sigma}$  — число заполнения  $i$ -го одноэлектронного состояния со спином  $\sigma$ ;  $a_{i\sigma}^+$  и  $a_{i\sigma}$  — соответствующие операторы рождения и уничтожения;  $P$  — импульс, сопряженный с координатой  $Q$ ;  $\omega$  — частота локального фонона;  $\mu$  — приведенная масса;  $\lambda$  — деформационный потенциал;  $V$  — интеграл туннелирования между локализованными состояниями  $|1\rangle$  и  $|2\rangle$ ;  $U$  — внутрицентровая хаббардовская энергия;  $C$  — межцентровый кулоновский интеграл.

Очевидно, что биполярному соответствует значение  $N = \sum_{i\sigma} n_{i\sigma} = 2$  (для  $N=1, 3$  задача сводится к двухузельной модели электронного или дырочного полярона). Частичная диагонализация гамильтониана (1) для  $N=2$  проводится так же, как

и в случае двухатомной молекулы (см., например, [6]). При этом энергии триплетных состояний легко определяются  $E_t^z = C + \hbar \omega (n + 1/2)$ , а синглетные состояния описываются системой уравнений для трех связанных осцилляторов со смещенными положениями равновесия (рис. 1). Вводя операторы псевдоспина, запишем гамильтониан синглетных состояний  $H_s$  в виде

$$H_s = \frac{P^2}{2\mu} + \frac{1}{2} \mu \omega^2 Q^2 - \lambda Q S_z + \bar{U} S_z^2 + 2V S_x \quad (2)$$

Здесь  $S_z$  и  $S_x$  — спиновые операторы для частицы с  $s=1$  в циклическом базисе [7],  $\bar{U} = \bar{U} - C$ . Таким образом, двухузельная модель биполярона свелась к спин-полевой задаче с  $s=1$  (случаю полярона отвечает  $s=1/2$  [8]). Отметим, что термодинамическое среднее  $\langle S_z \rangle = 1/2 \langle n_{1z} - n_{2z} \rangle$ . Следовательно, решения

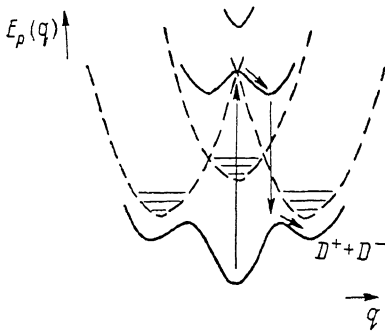


Рис. 1. «Затравочные» кривые адиабатических потенциалов при  $V=0$  и  $\bar{U} < 2W$  (штриховые линии); перестроенные адиабатические потенциалы для области II на фазовой диаграмме и  $\bar{U} < 2W$  (сплошные).

Стрелками показан фотоиндуцированный переход в метастабильное биполяронное состояние, соответствующий образованию пары близких  $D$ -центров в халькогенидном стекле [9].

с  $\langle S_z \rangle \neq 0$  отвечают образованию биполярона. Применяя к (2) адиабатическое приближение, которое формально соответствует предельному переходу  $\mu \rightarrow \infty$ , получим

$$H_s^{\text{ад}} = 2Wq^2 - 4WqS_z + \bar{U}S_z^2 + 2VS_x, \quad (3)$$

где  $W = \lambda^2/4\mu\omega^2$  — поляронный сдвиг, и  $Q = q\lambda/\mu\omega^2$ . Вычисление с помощью (3) свободной энергии и минимизация ее по  $q$  дают соотношение  $q_{\text{min}} = \langle S_z \rangle$ , подстановка которого в (3) приводит к хорошо известной форме гамильтониана в приближении среднего поля.

Проанализируем спектр этого гамильтониана при  $T=0$ , когда  $\langle S_z \rangle$  есть среднее по основному состоянию. Используя явный вид операторов псевдоспина, можно получить два набора решений для уровней энергии  $E$  электронного гамильтониана  $H_{e1} = H_s^{\text{ад}}(q_{\text{min}}) - 2W\langle S_z \rangle^2$ :

$$E_{1,2} = \frac{\bar{U}}{2} (1 \mp 2\gamma), \quad E_3 = \bar{U}, \quad (\langle S_z \rangle = 0), \quad (4)$$

$$E^3 - (\bar{U} - 4W)E^2 - 2V^2\bar{U} = 0, \quad (\langle S_z \rangle \neq 0), \quad (5)$$

где  $\gamma = (1/4 + 4V^2/\bar{U}^2)^{1/2}$ , а  $\langle S_z \rangle = [\Delta(E)/E]^{1/2}/4W$ ,  $\Delta(E) = \prod_{i=1}^3 (E - E_i)$ ,  $E$  — корень уравнения (5). Энергии, даваемые формулами (4) и уравнением (5), отвечают экстремумам адиабатических потенциалов основного и возбужденных состояний  $E_p^i(q)$  при  $q=0$  и  $q \neq 0$  соответственно [ $E_p^i(q)$  — собственное значение оператора (3) при произвольном  $q$ ].

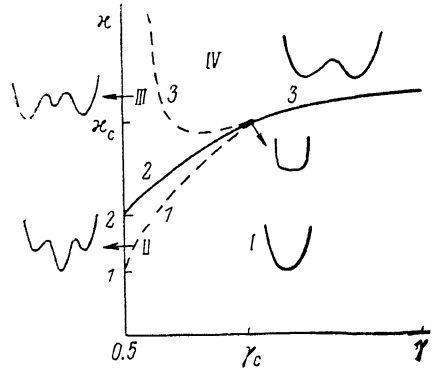


Рис. 2. Фазовая диаграмма адиабатического потенциала основного состояния.

Уравнения кривых 1—3 даны формулами (6).

В зависимости от соотношения между параметрами  $\bar{U}$ ,  $V$  и  $W$  адиабатический потенциал основного состояния может быть одно-, двух- или трехъямным. Его качественное поведение удобно проанализировать по следующей схеме: 1) подстановка значения  $E_p = U(1 - 2\gamma)$  в секулярное уравнение для гамильтониана (3) дает биквадратное уравнение относительно  $q$ , которое имеет 0, 4 или 2 вещественных корня, в зависимости от того, является ли состояние с  $\langle S_z \rangle = 0$  основным, метастабильным или неустойчивым; 2) с помощью уравнения (5) устанавливается критерий появления метастабильного состояния с  $\langle S_z \rangle \neq 0$ . Описанный анализ позволяет построить фазовую диаграмму адиабатического потенциала основного состояния в пространстве двух безразмерных управляющих параметров  $\gamma$  и  $x = 4W/\bar{U}$  (рис. 2). Кривые на фазовой плоскости описываются уравнениями

$$x = \begin{cases} 1 + 3/2(\gamma^2 - 1/4)^{1/2}, & (1) \\ 1/2\gamma + 3/4 + (\gamma + 1/2)^{1/2}, & (2) \\ \gamma(2\gamma + 1)/(2\gamma - 1). & (3) \end{cases} \quad (6)$$

В тройной точке  $\gamma_c = 1 + \sqrt{5}/2$ ,  $x_c = 1/4(7 + 3\sqrt{5})$  происходит касание кривых. Сплошная линия на рис. 2 разделяет области, для которых в основном состоянии  $\langle S_z \rangle = 0$  и  $\langle S_z \rangle \neq 0$ . При ее пересечении слева или справа от тройной точки адиабатический потенциал меняется, как при фазовом переходе первого или второго рода соответственно. В области III имеется метастабильное состояние с  $\langle S_z \rangle = 0$ , а в области II — метастабильное биполярное состояние.

Предложенную модель можно рассматривать как модель пары двухэлектронных центров с сильным электрон-фононным взаимодействием. Такими центрами являются, например,  $D$ -центры в халькогенидных стеклах или в аморфном кремнии. В халькогенидных стеклообразных полупроводниках (ХСП) для изолированного  $D$ -центра справедливо неравенство  $\bar{U} < 2W$  (отрицательная андерсоновская корреляция). Поэтому пары, содержащие достаточно удаленные  $D$ -центры, будут соответствовать области III на фазовой диаграмме. Сближению центров отвечают увеличение интеграла туннелирования и переход из области III в область II на фазовой диаграмме при  $x < x_c$  (рис. 2). Следовательно, в материале ХСП могут присутствовать пары близких  $D$ -центров, адиабатический потенциал которых является трехъямным и отвечает области II на фазовой диаграмме. Для таких пар основным является ковалентное «бездефектное» состояние, а биполярное состояние с переносом заряда метастабильно. Данный факт позволяет микроскопически обосновать модель фотостимулированного образования пары близких  $D$ -центров, предлагавшуюся ранее для объяснения низкотемпературных фотоструктурных превращений в ХСП [9] (рис. 1).

В заключение отметим, что предложенная формулировка двухузельной модели биполярона в виде спин-полевой задачи может оказаться весьма полезной при исследовании динамики биполяронов малого радиуса, термоактивационное движение которых наблюдалось экспериментально, например, в оксидных стеклах  $WO_3$  [10].

#### Л и т е р а т у р а

- [1] Gohou M. N., Economou E. N., Soukoulis C. M. — Phys. Rev., 1984, v. B29, N 8, p. 4496—4499.
- [2] Hiramoto H., Toyozawa L. — J. Phys. Soc. Japan, 1985, v. 54, N 1, p. 245—259.
- [3] Brazovskii S., Kirova N., Yakovenko V. — Sol. St. Commun., 1985, v. 55, N 3, p. 187—190.
- [4] Anderson P. W. — Phys. Rev. Lett., 1975, v. 34, N 15, p. 953—955.
- [5] Holstein T. — Phil. Mag., 1978, v. B37, N 1, p. 49—62.
- [6] Huang C., Moriarti J. A., Sher A., Breckenridge R. A. — Phys. Rev., 1975, v. B12, N 12, p. 5395—5406.
- [7] Варшавович Д. А., Москалев А. Н., Херсонский В. К. Квантовая теория углового момента. Л., 1975. 439 с.
- [8] Feinberg D., Ranninger J. — Physica, 1984, v. D14, p. 29—49.
- [9] Street R. A. — Phys. Rev., 1978, v. B17, N 10, p. 3984—3995.
- [10] Rice T. M., Sneddon L. — Phys. Rev. Lett., 1981, v. 47, N 10, p. 689—693.